

## BIBLIOGRAFIA

- 1964 — The Mosses of Suriname. *Flora of Suriname*. Vol. 6. Leiden.
- 1963-1976 — Manual of the Leafy Hepaticae of Latin America — Parts I-IV. *Mem. New York Bot. Gard.* 11(1-4): 1-535.
- 1975 — A Taxonomic Monograph of the Genus *Acrolejeunea* (Hepaticae). *Bryophytorum Bibliotheca*, bd. 4, J. Cramer, Lehre.
- 1869 — Musci austro-americani. *Enumeratio muscorum omnium austro-americanorum aucto-ri hucusque cognitorum.* *Jour. Linn. Soc. Lond., Bot.* 12: 1-659.
- 1961 — The genus *Calymperes* in the Americas. *The Bryologist* 64: 89-140.
- 1955 — North American Lejeuneaceae I. Introduction; Keys to subfamilies and genera. *Jour. Elisha Mitchell Sci. Soc.* 71(1): 106-148.
- 1884 — Hepaticae amazonicae et andinae. *Trans. Proc. Bot. Soc. Edinburgh* 15: I-XI, 1-500, pls. 1-22.

(Aceito para publicação em 9/06/79)

## ESTAMPA I

Fig. 1-5 — **Sphagnum palustre.** Fig. 1, planta X 4; fig. 2, filídio do caule primário X 20; fig. 3, filídio do ramo X 20; fig. 4, células da metade superior do filídio dum ramo X 170; fig. 5, secção transversal do filídio dum ramo X 300.

Fig. 6-8 — **Fissidens kegelianus.** Fig. 6, filídio X 20; fig. 7, ápice do filídio X 120; fig. 8, parte inferior do filídio X 120.

Fig. 9-11 — **Fissidens elegans.** Fig. 9, filídio X 120; fig. 10, margem inferior do filídio X 170; fig. 11 células da parte superior da lâmina X 400.

Fig. 12-14 — **Fissidens prionodes** — Fig. 12, planta X 6; fig. 13, filídio X 35; fig. 14, ápice do filídio X 180.

Fig. 15-17 — **Fissidens intermedius.** Fig. 15, filídio X 35; fig. 16, parte inferior do filídio X 160; fig. 17, células da parte superior da lâmina X 300.

Fig. 18-20 — **Campylopus trachyblepharon.** Fig. 18, planta X 3; fig. 19, filídio X 7; fig. 20, secção transversal do filídio X 180.

Fig. 21-24 — **Campylopus surinamensis.** Fig. 21, planta X 4; fig. 22, filídio X 17; fig. 23, ápice do filídio X 130; fig. 24, margem mediana do filídio X 150.

Fig. 25-28 — **Campylopus savannarum.** Fig. 25, planta X 4; fig. 26, filídio X 10; fig. 27, região alar X 60; fig. 28, secção transversal do filídio X 180.

Fig. 29-33 — **Dicranella hilariana.** Fig. 29, planta X 8; fig. 30, filídio X 30; fig. 31, ápice do filídio X 300; fig. 32, cápsula X 8; fig. 33, dente do peristômio X 40.

Fig. 34-36 — **Leucobryum crispum.** Fig. 34, planta X 2; fig. 35, filídio X 7; fig. 36, secção transversal do filídio perto da base X 130.

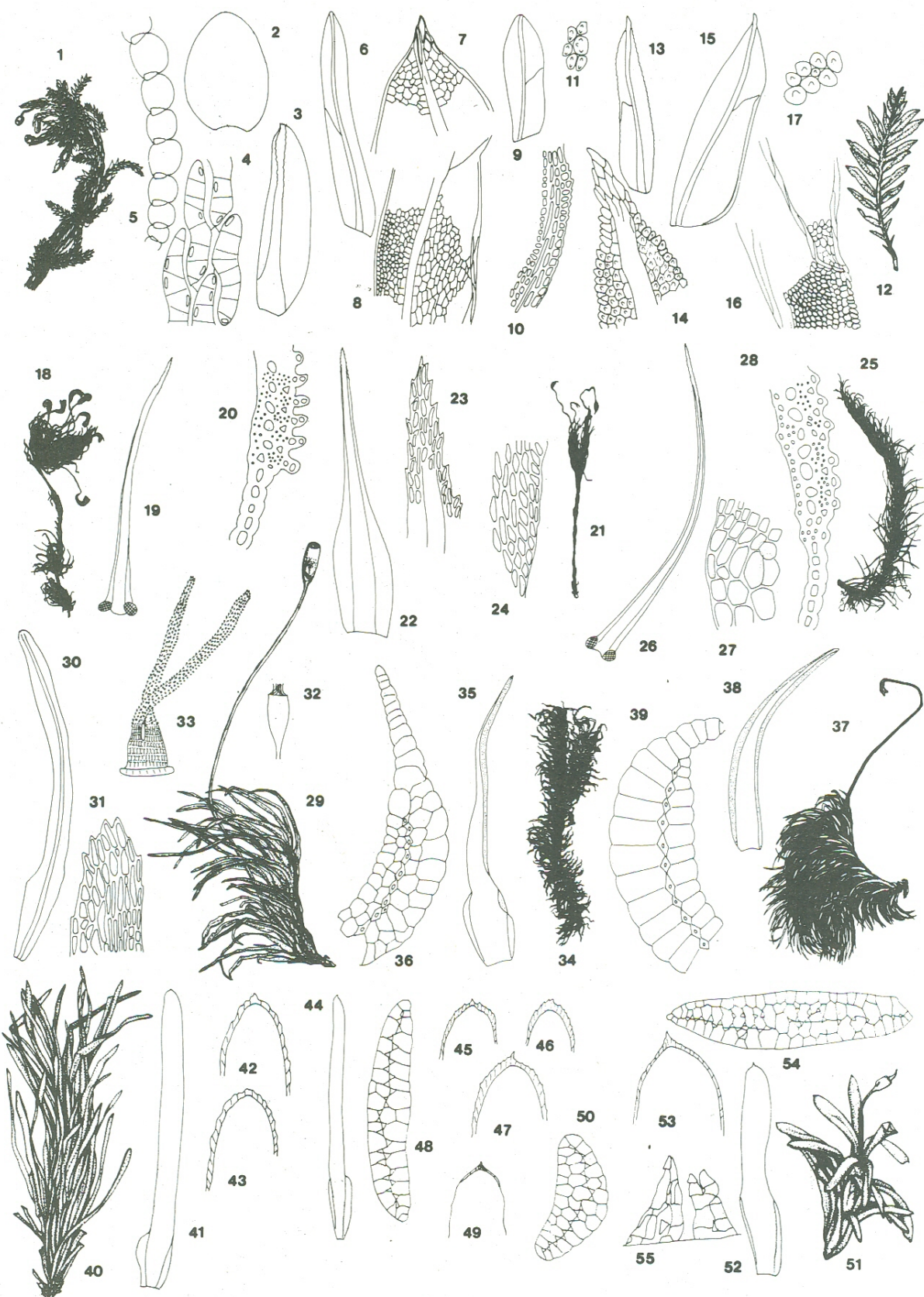
Fig. 37-39 — **Leucobryum martianum.** Fig. 37, planta X 2; fig. 38, filídio X 7; fig. 39, secção transversal do filídio perto da base X 130.

Fig. 40-43 — **Octoblepharum cocuiense.** Fig. 40, planta X 3; fig. 41, filídio X 5; fig. 42-43, ápices de filídios X 20.

Fig. 44-48 — **Octoblepharum pellucidum.** Fig. 44 filídio X 5; fig. 45-47, ápices de filídios X 20; fig. 48, secção transversal do filídio perto do ápice X 100.

Fig. 49-50 — **Octoblepharum ampullaceum.** Fig. 49, ápice do filídio X 40; fig. 50, secção transversal e mediana do filídio X 80.

Fig. 51-55 — **Octoblepharum albidum.** Fig. 51, planta, X 7; fig. 52, filídio X 10; fig. 53, ápice do filídio X 20; fig. 54, secção transversal do filídio perto do ápice X 80; fig. 55, peristômio X 100.



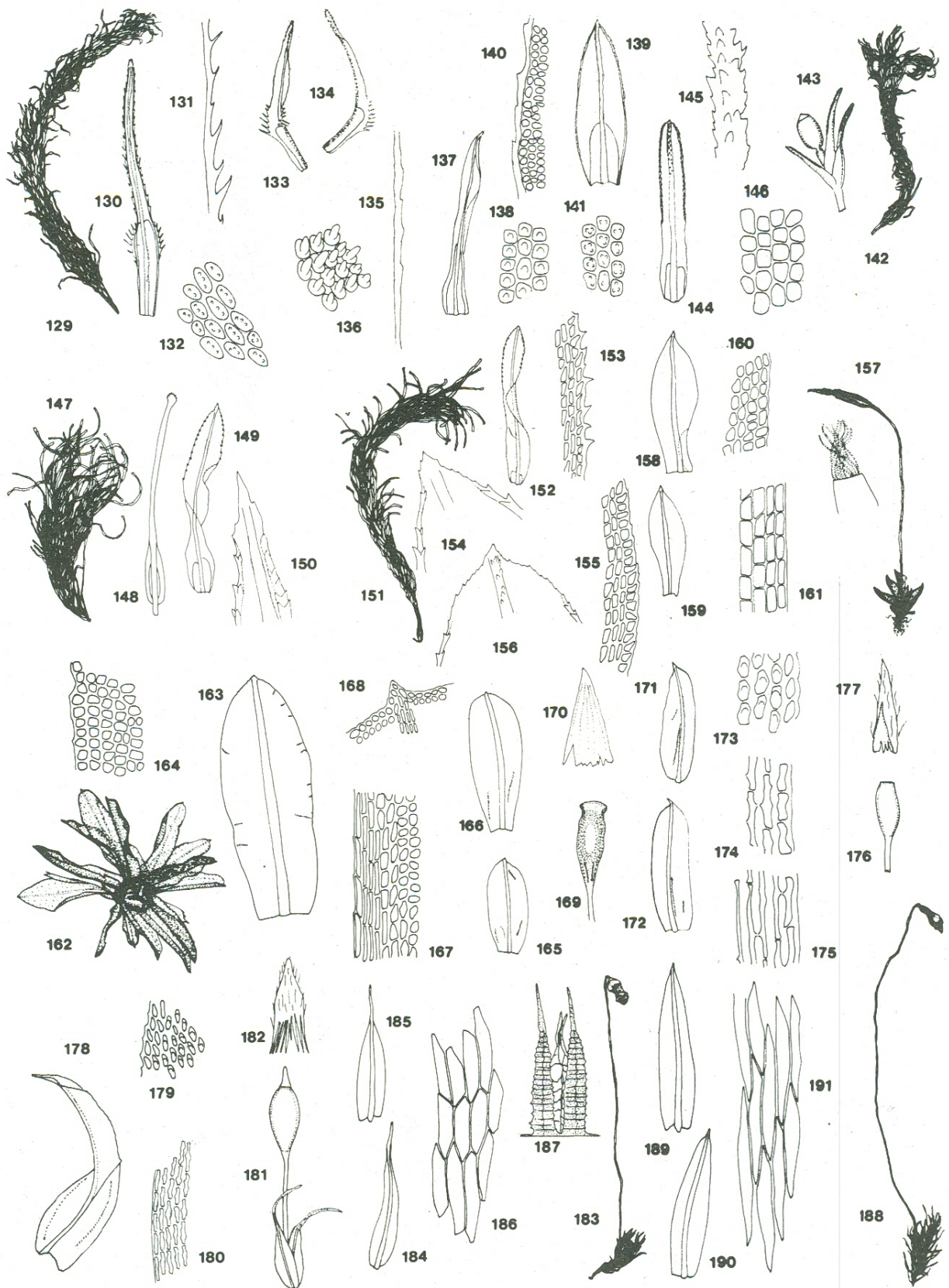
## ESTAMPA II

- Fig. 56-62 — **Octoblepharum cylindricum.** Fig. 56, planta X 15; fig. 57, filídio X 5; fig. 58, ápice do filídio X 40; fig. 59-60, células do meio superior da lâmina X 80; fig. 61, cápsula X 12; fig. 62, peristômio X 35.
- Fig. 63-67 — **Octoblepharum pulvinatum.** Fig. 63, filídio X 8; fig. 64-65, ápices de filídios; fig. 66, células do meio superior da lâmina X 70; fig. 67, peristômio X 70.
- Fig. 68-70 — **Calymperes lonchophyllum.** Fig. 68, planta X 3; fig. 69, filídio X 5; fig. 70, células superiores do filídio X 300.
- Fig. 71-74 — **Calymperes rubiginosum.** Fig. 71-72 filídios X 13; fig. 73, ápice do filídio X 130; fig. 74, margem do filídio X 150.
- Fig. 75-77 — **Calymperes mitrafugax.** Fig. 75 filídio X 13; fig. 76, secção transversal da metade superior do filídio X 170; fig. 77, margem superior do filídio X 170.
- Fig. 78-81 — **Calymperes lanceolatum.** Fig. 78-79, filídios X 7; fig. 80, ápice do filídio X 110; fig. 81, células superiores do filídio (lado dorsal) X 300.
- Fig. 82-84 — **Calymperes platyloma.** Fig. 82, planta X 4; fig. 83, filídio X 7; fig. 84, secção transversal da metade superior do filídio X 170.
- Fig. 85-90 — **Calymperes bartramii.** Fig. 85, planta X 4; fig. 86, filídio X 7; fig. 87-88, secções transversais da lâmina superior do filídio X 140; fig. 89, o mesmo X 220; fig. 90, teniolas marginais na região do ombro do filídio X 160.
- Fig. 91-95 — **Calymperes richardii.** Fig. 91, planta X 4; fig. 92-93, filídios X 7; fig. 94, secção transversal da lâmina superior; fig. 95, teniolas intramarginais na região do ombro do filídio X 250.
- Fig. 96-99 — **Calymperes donnellii.** Fig. 96, filídio X 7; fig. 97, secção transversal da lâmina superior do filídio X 300; fig. 98, secção transversal da região superior das cancelinas X 70; fig. 99, teniolas intramarginais na região do ombro do filídio X 260.
- Fig. 100-104 — **Calymperes erosum.** Fig. 100, planta X 5; fig. 101-102, filídios X 7; fig. 103, secção transversal da região superior das cancelinas X 70; fig. 104, teniolas intramarginais na região do ombro do filídio X 170.
- Fig. 105-109 — **Syrrhopodon helicophyllum.** Fig. 105, planta X 2; fig. 106, filídio em estado seco X 13; fig. 107, filídio em estado úmido X 7; fig. 108, ápice do filídio X 60; fig. 109, células superiores do filídio X 220.
- Fig. 110-112 — **Syrrhopodon ligulatus.** Fig. 110-111, filídios X 17; fig. 112, células superiores do filídio X 230.
- Fig. 113-115 — **Syrrhopodon fimbriatus.** Fig. 113-114, filídios X 26; fig. 115, margem do filídio X 180.
- Fig. 116-119 — **Syrrhopodon xanthophyllum.** Fig. 116-117, filídios X 12; fig. 118, secção transversal do filídio X 43; fig. 119, secção transversal da margem do filídio X 230.
- Fig. 120-122 — **Syrrhopodon brevisetus.** Fig. 120, filídio X 13; fig. 121, ápice do filídio X 140; fig. 122, secção transversal da metade superior do filídio X 230.
- Fig. 123-125 — **Syrrhopodon incompletus.** Fig. 123, filídio X 7; fig. 124, margem superior do filídio X 110; fig. 125, células da região superior das cancelinas X 200.
- Fig. 126-128 — **Syrrhopodon annotinus.** Fig. 126, filídio X 7; fig. 127, margem superior do filídio X 160; fig. 128, células superiores do filídio X 300.



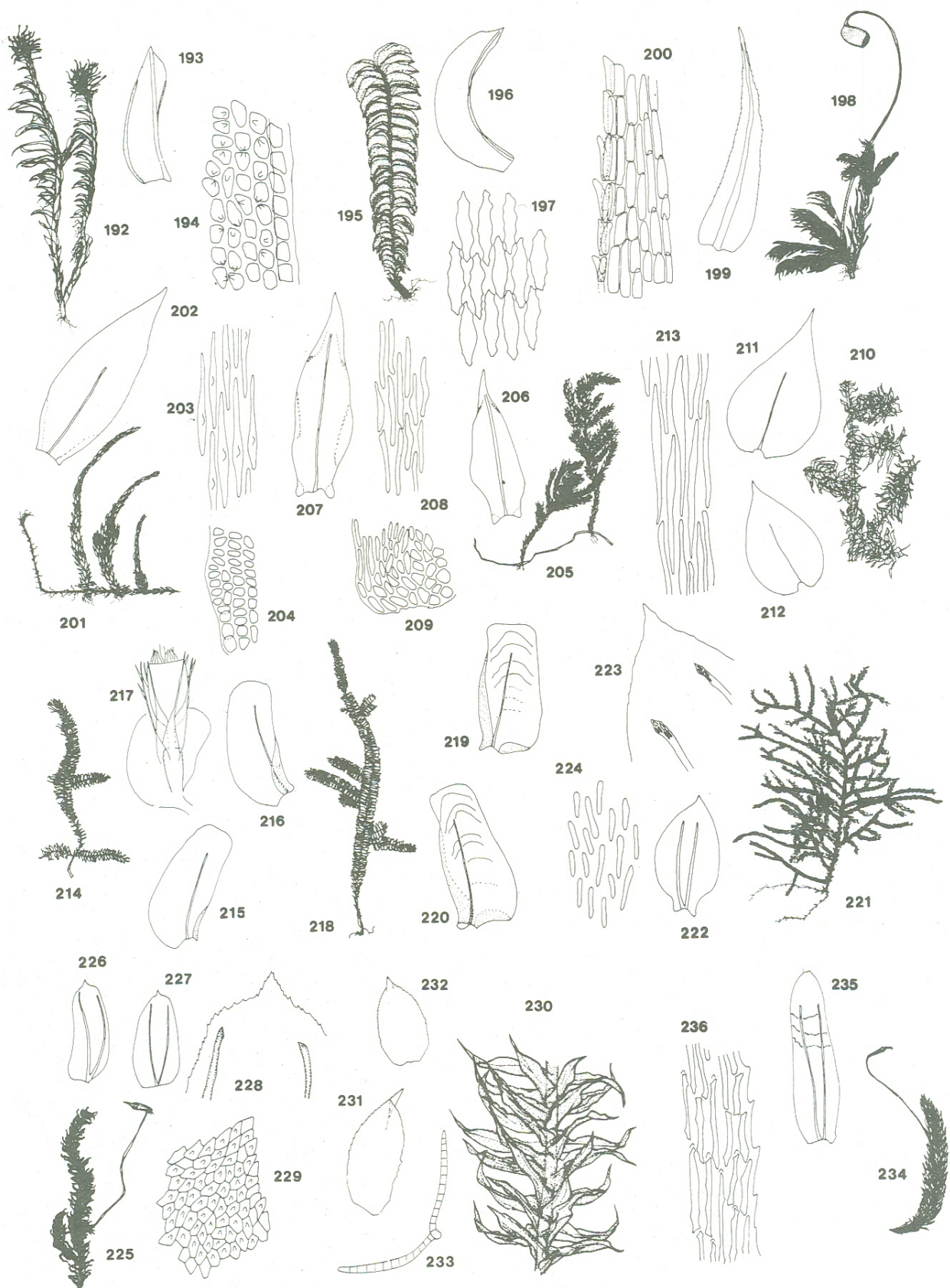
### ESTAMPA III

- Fig. 129-132 — *Syrrhopodon sylvaticus*. Fig. 129, planta X 3; fig. 130, filídio X 7; fig. 131, borda acima dos ombros do filídio X 50; fig. 132, células da lâmina superior (lado dorsal) X 300.
- Fig. 133-136 — *Syrrhopodon leprieurii*. Fig. 133-134, filídios X 7; fig. 135, borda acima dos ombros do filídio X 50; fig. 136, células da lâmina superior (lado dorsal) X 300.
- Fig. 137-138 — *Syrrhopodon parasiticus*. Fig. 137, filídio X 7; fig. 138, células da lâmina superior X 300.
- Fig. 139-141 — *Syrrhopodon parasiticus* var. *disciformis*. Fig. 139, filídio X 17; fig. 140, margem superior do filídio X 200; fig. 141, células da lâmina superior X 300.
- Fig. 142-146 — *Syrrhopodon cryptocarpos*. Fig. 142, planta X 4; fig. 143, cápsula X 7; fig. 144, filídio X 12; fig. 145, margem superior do filídio X 200; fig. 146, células da lâmina superior X 300.
- Fig. 147-150 — *Syrrhopodon rigidus*. Fig. 147, planta X 3; fig. 148, filídio propaguloso X 7; filídio normal X 7; fig. 150, ápice do filídio normal X 60.
- Fig. 151-154 — *Syrrhopodon hornschuchii*. Fig. 151, planta X 3; fig. 152, filídio X 5; fig. 153, margem inferior do filídio X 170; fig. 154, ápice do filídio X 80.
- Fig. 155-156 — *Syrrhopodon circinatus*. Fig. 155 margem inferior do filídio X 170; fig. 156, ápice do filídio X 80.
- Fig. 157-161 — *Barbula agraria*. Fig. 157, planta X 5; fig. 158-159, filídios X 17; fig. 160, células superiores do filídio X 130; fig. 161, células inferiores do filídio X 130.
- Fig. 162-164 — *Hyophila tortula*. Fig. 162, planta X 8; fig. 163, filídio X 15; fig. 164, células superiores do filídio X 300.
- Fig. 165-170 — *Groutiella mucronifolia*. Fig. 165-166, filídios X 17; fig. 167, margem inferior do filídio X 300; fig. 168, ápice do filídio X 250; fig. 169, cápsula X 5; fig. 170, caliptra X 5.
- Fig. 171-177 — *Macromitrium pellucidum*. Fig. 171-172, filídio X 13; fig. 173, células apicais do filídio X 250; fig. 174, células medianas do filídio X 250; fig. 175, células basais do filídio X 250; fig. 176, cápsula X 5; fig. 177, caliptra X 5.
- Fig. 178-182 — *Macromitrium pentastichum*. Fig. 178, filídio X 17; fig. 179, células apicais do filídio X 130; fig. 180, células basais do filídio X 130; fig. 181, cápsula X 5; fig. 182, caliptra X 5.
- Fig. 183-187 — *Bryum coronatum*. Fig. 183, planta X 3; fig. 184-185, filídios X 17; fig. 186, células superiores do folídio X 250; fig. 187, peristômio X 80.
- Fig. 188-191 — *Bryum cruegeri*. Fig. 188, planta X 3; fig. 189-190, filídios X 17; fig. 191, células superiores do filídio X 250.



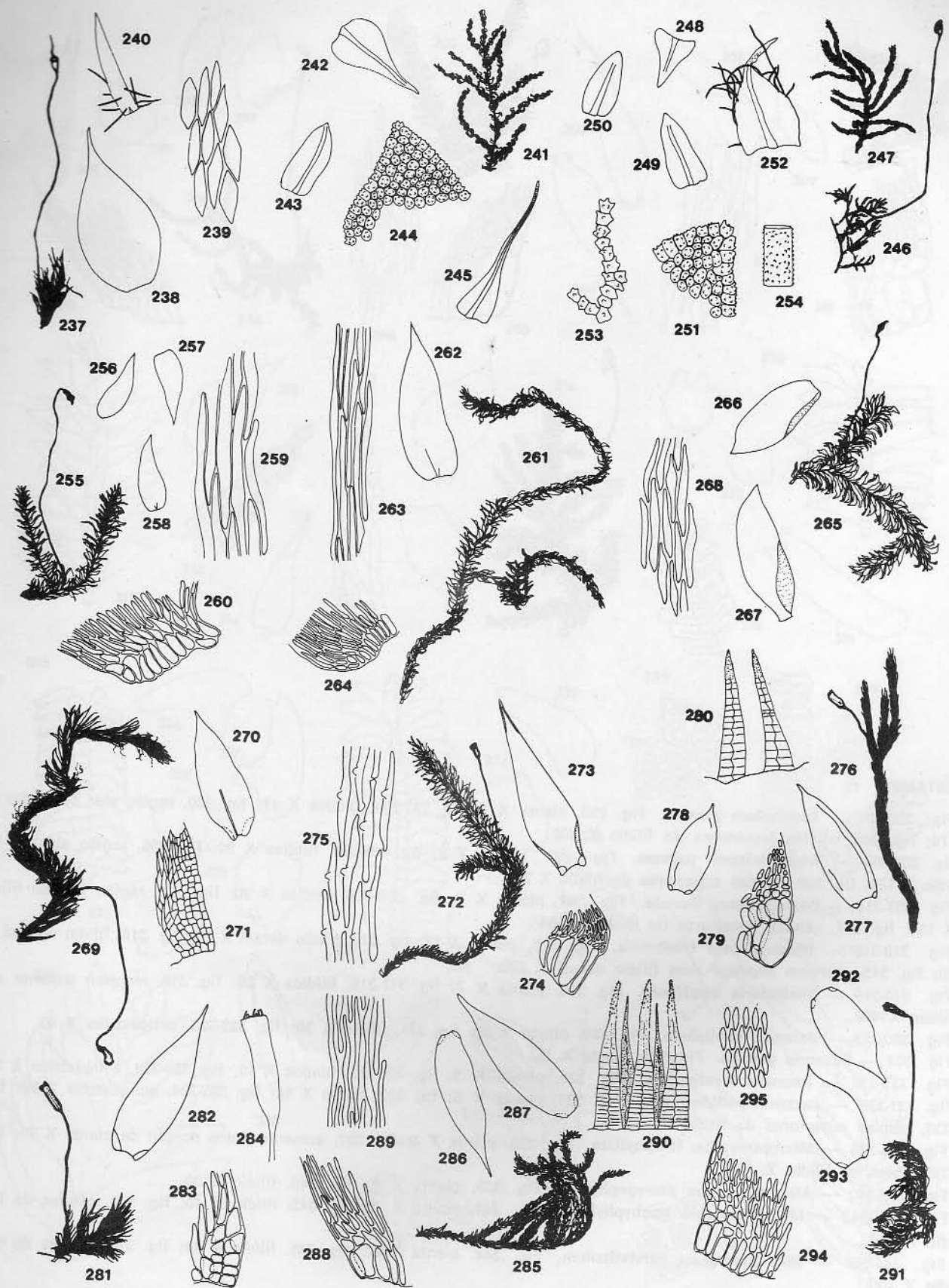
#### ESTAMPA IV

- Fig. 192-194 — *Mniomalia viridis*. Fig. 192, planta X 5; fig. 193, filídio X 25; fig. 194, células superiores do filídio X 300.
- Fig. 195-197 — *Phyllodrepanium falcifolium*. Fig. 195, planta X 4; fig. 196, filídio X 10; fig. 197, células medianas do filídio X 300.
- Fig. 198-200 — *Philonotis uncinata*. Fig. 198, planta X 3; fig. 199, filídio X 35; fig. 200, células superiores do filídio X 260.
- Fig. 201-204 — *Leucodontopsis geniculata*. Fig. 201, planta X 1,5; fig. 202, filídio X 26; fig. 203, células superiores do filídio X 350; fig. 204, células da região alar X 210.
- Fig. 205-209 — *Pirella pohlii*. Fig. 205, planta X 1,5; fig. 206-207, filídios X 26; fig. 208, células superiores do filídio X 350; fig. 209, células da região alar X 260.
- Fig. 210-213 — *Meteoriopsis patula*. Fig. 210, planta X 1,5; fig. 211-212, filídios X 13; fig. 213, células medianas do filídio X 300.
- Fig. 214-217 — *Neckeropsis disticha*. Fig. 214, planta X 1,5; fig. 215-216, filídios X 13; fig. 217, cápsula X 17.
- Fig. 218-220 — *Neckeropsis undulata*. Fig. 218, planta X 1,5; fig. 219-220, filídios X 13.
- Fig. 221-224 — *Pilotrichum evanescens*. Fig. 221, planta X 1,5; fig. 222, filídio X 18; fig. 223, ápice do filídio X 80; fig. 224, células superiores do filídio X 300.
- Fig. 225-229 — *Callicostella* sp. Fig. 225, planta X 3; fig. 226-227, filídios X 35; fig. 228, ápice do filídio X 80; fig. 229, células superiores do filídio X 180.
- Fig. 230-233 — *Crossomitrium patrisiae*. Fig. 230, planta X 8; fig. 231, filídio lateral X 13; fig. 232, filídio dorsal X 13; fig. 233, propágulo filamentoso X 40.
- Fig. 234-236 — *Hookeriopsis parkeriana*. Fig. 234, planta X 1,5; fig. 235, filídio X 13; fig. 236, células superiores do filídio X 260.



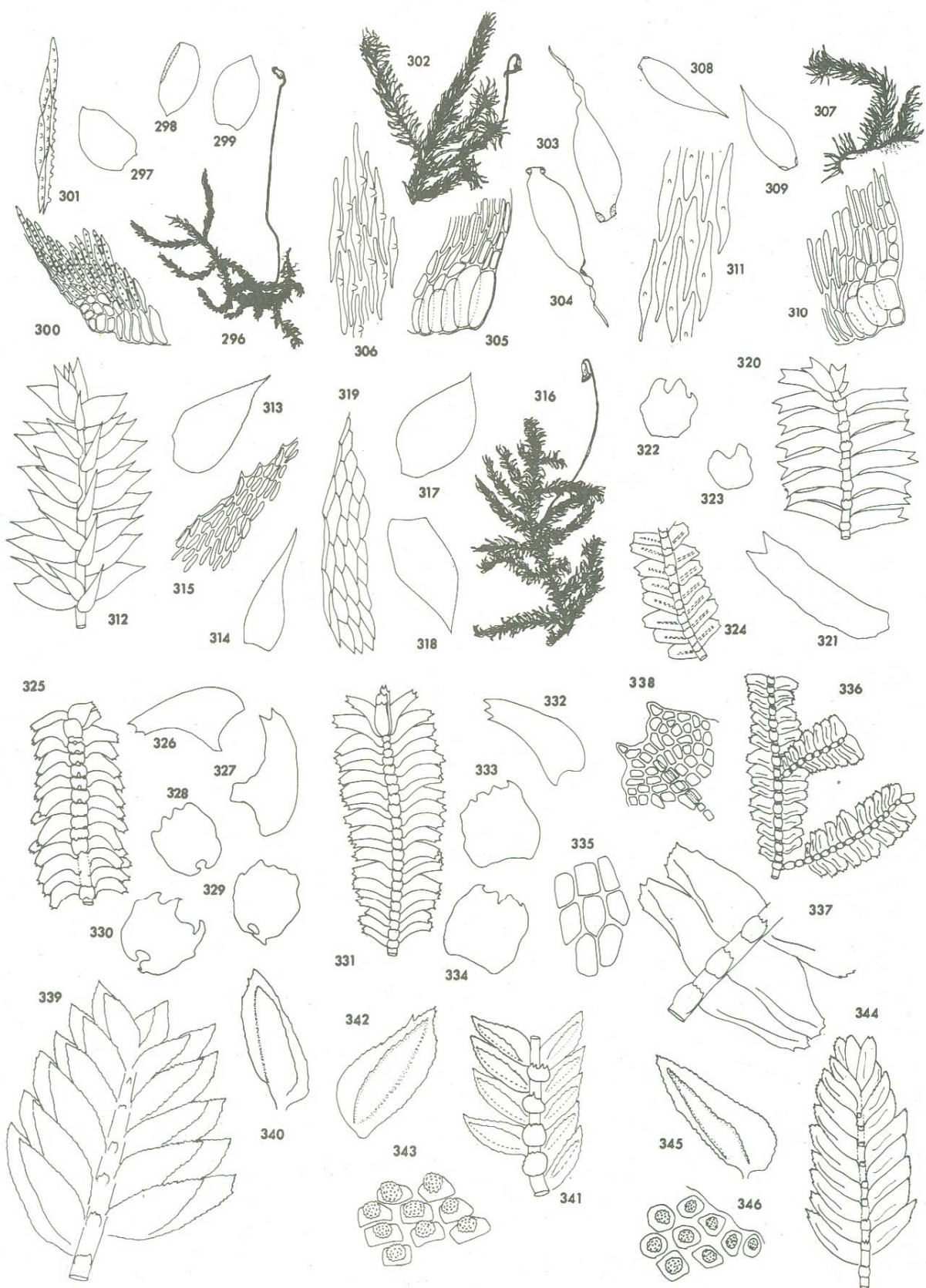
## ESTAMPA V

- Fig. 237-240 — *Leucomium lignicola*. Fig. 237, planta X 5; fig. 238, filídio X 20; fig. 239, células superiores do filídio X 270; fig. 240, caliptra X 12.
- Fig. 241-245 — *Thuidium involvens*. Fig. 241, planta X 10; fig. 242, filídio do caule primário X 27; fig. 243, filídio do ramo X 27; fig. 244, ápice do filídio do ramo X 170; fig. 245, filídio periquecial X 18.
- Fig. 246-254 — *Thuidium schistocalyx*. Fig. 246, planta X 3, fig. 247, planta X 10; fig. 248, filídio do caule primário X 30; fig. 148-250, filídios do ramo X 50; fig. 251, ápice do filídio do ramo X 200; fig. 252, filídio periquecial X 25; fig. 253, parafilia X 230; fig. 254, secção da seta X 30.
- Fig. 255-260 — *Isopterygium tenerum*. Fig. 255, planta X 2,5; fig. 256-258, filídios X 17; fig. 259, células medianas do filídio X 200; fig. 260, células da base do filídio X 180.
- Fig. 261-264 — *Isopterygium auranticum*. Fig. 261, planta X 2; fig. 262, filídio X 2; fig. 263, células medianas do filídio X 200; fig. 264, células da base do filídio X 110.
- Fig. 265-268 — *Pilosium chlorophyllum*. Fig. 265, planta X 2; fig. 266-267, filídios X 2; fig. 268, células medianas do filídio X 130.
- Fig. 269-271 — *Stereophyllum leucostegeum*. Fig. 269, planta X 3; fig. 270, filídio X 17; fig. 271, região alar do filídio X 50.
- Fig. 272-275 — *Acroporium guianense*. Fig. 275, planta X 2; fig. 273, filídio X 15; fig. 274, região alar do filídio X 50; fig. 275, células superiores do filídio X 500.
- Fig. 276-280 — *Meiothecium revouibile*. Fig. 276, planta X 2; fig. 277-278, filídio X 15; fig. 279, região alar do filídio X 150; fig. 280, peristômio X 420.
- Fig. 281-284 — *Pterogonidium pulchellum*. Fig. 281, planta X 5; fig. 282, filídio X 40; fig. 283, região alar do filídio X 130; fig. 284, cápsula X 20.
- Fig. 285-289 — *Sematophyllum subsimplex*. Fig. 285, planta X 2; fig. 286-287, filídios X 13; fig. 288, região alar do filídio X 170; fig. 289, células medianas do filídio X 300; fig. 290, peristômio X.
- Fig. 291-295 — *Sematophyllum caespitosum*. Fig. 291, planta X 3; fig. 292-293, filídios X 17; fig. 294, região alar do filídio X 150; fig. 295, células medianas do filídio X 160.



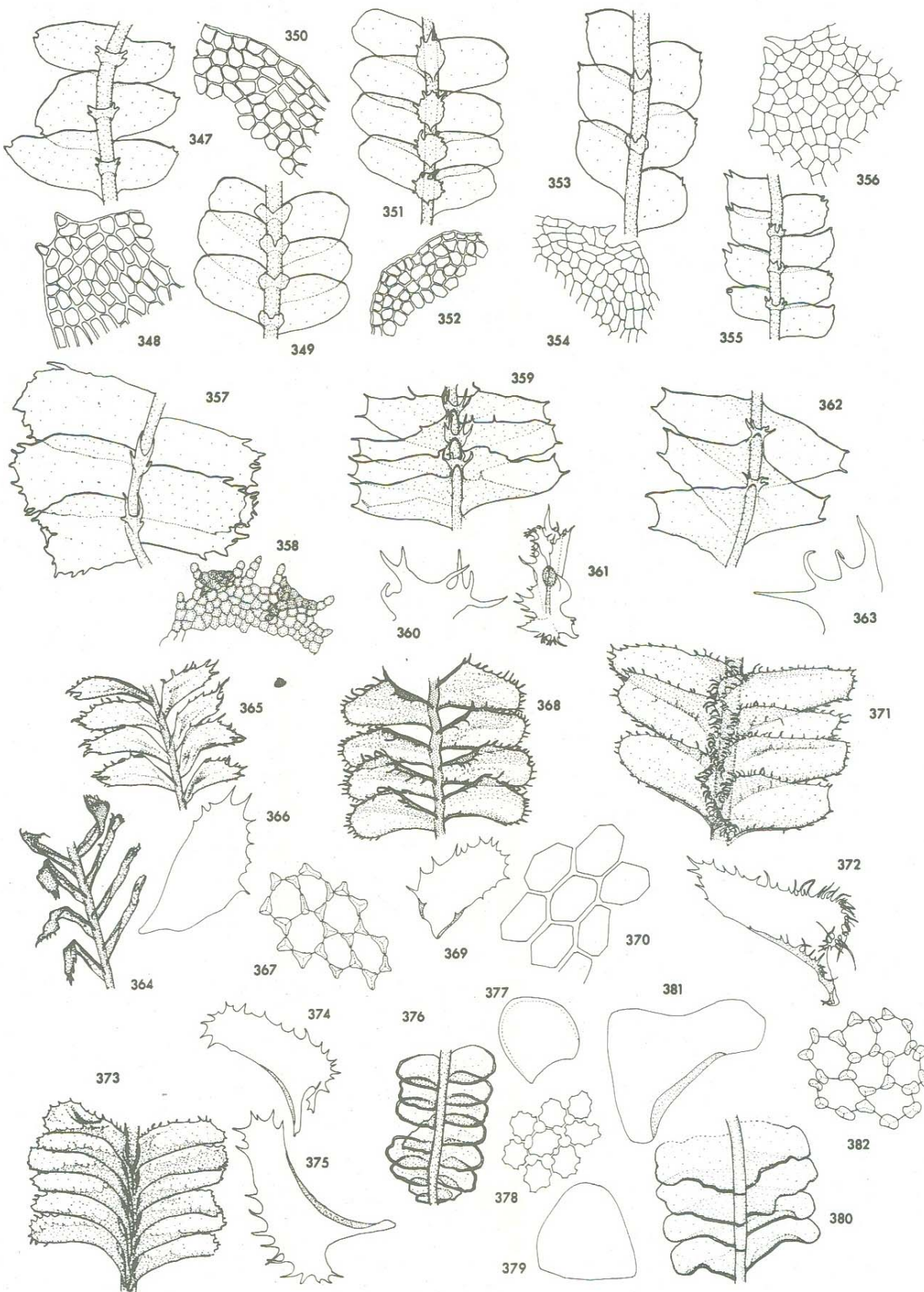
## ESTAMPA VI

- Fig. 296-301 — *Taxithelium planum*. Fig. 296, planta X 3; fig. 297-299, filídios X 17; fig. 300, região alar do filídio X 170; fig. 301, células superiores do filídio X 300.
- Fig. 302-306 — *Trichosteleum guianae*. Fig. 302, planta X 2; fig. 303-304, filídios X 20; fig. 305, região alar do filídio X 120; fig. 306, células superiores do filídio X 260.
- Fig. 307-311 — *Trichosteleum fluviale*. Fig. 307, planta X 4; fig. 308-309, filídios X 20; fig. 310, região alar do filídio X 150; fig. 311, células superiores do filídio X 580.
- Fig. 312-315 — *Rhacopilopsis trinitensis*. Fig. 312, planta X 17; fig. 313, filídio dorsal X 20; fig. 314, filídio ventral X 20; fig. 315, margem superior dum filídio dorsal X 220.
- Fig. 316-319 — *Vesicularia amphibola*. Fig. 316, planta X 3; fig. 317-318, filídios X 26; fig. 319, margem superior do filídio X 100.
- Fig. 320-323 — *Bazzania phyllobola*. Fig. 320, planta X 20; fig. 321, filídio X 30; fig. 322-323, anfigástrios X 40.
- Fig. 324 — *Bazzania gracilis*. Fig. 324, planta X 15.
- Fig. 325-330 — *Bazzania teretiuscula*. Fig. 325, planta X 5; fig. 326-327, filídios X 10; fig. 328-330, anfigástrios X 20.
- Fig. 331-335 — *Bazzania pallide-virens*. Fig. 331, planta X 5; fig. 332, filídio X 10; fig. 333-334, anfigástrios X 20; fig. 335, células superiores do filídio X 210.
- Fig. 336-338 — *Micropterygium leiophyllum*. Fig. 336, planta X 4; fig. 337, aumento duma porção da planta X 30; fig. 338, ápice do filídio X 170.
- Fig. 339-340 — *Micropterygium pterygophyllum*. Fig. 339, planta X 30; fig. 340, filídio X 30.
- Fig. 341-343 — *Micropterygium trachyphyllum*. Fig. 341, planta X 26; fig. 342, filídio X 40; fig. 343, células do filídio X 400.
- Fig. 344-346 — *Micropterygium parvistipulum*. Fig. 344, planta X 20; fig. 345, filídio X 40; fig. 346, células do filídio X 400.



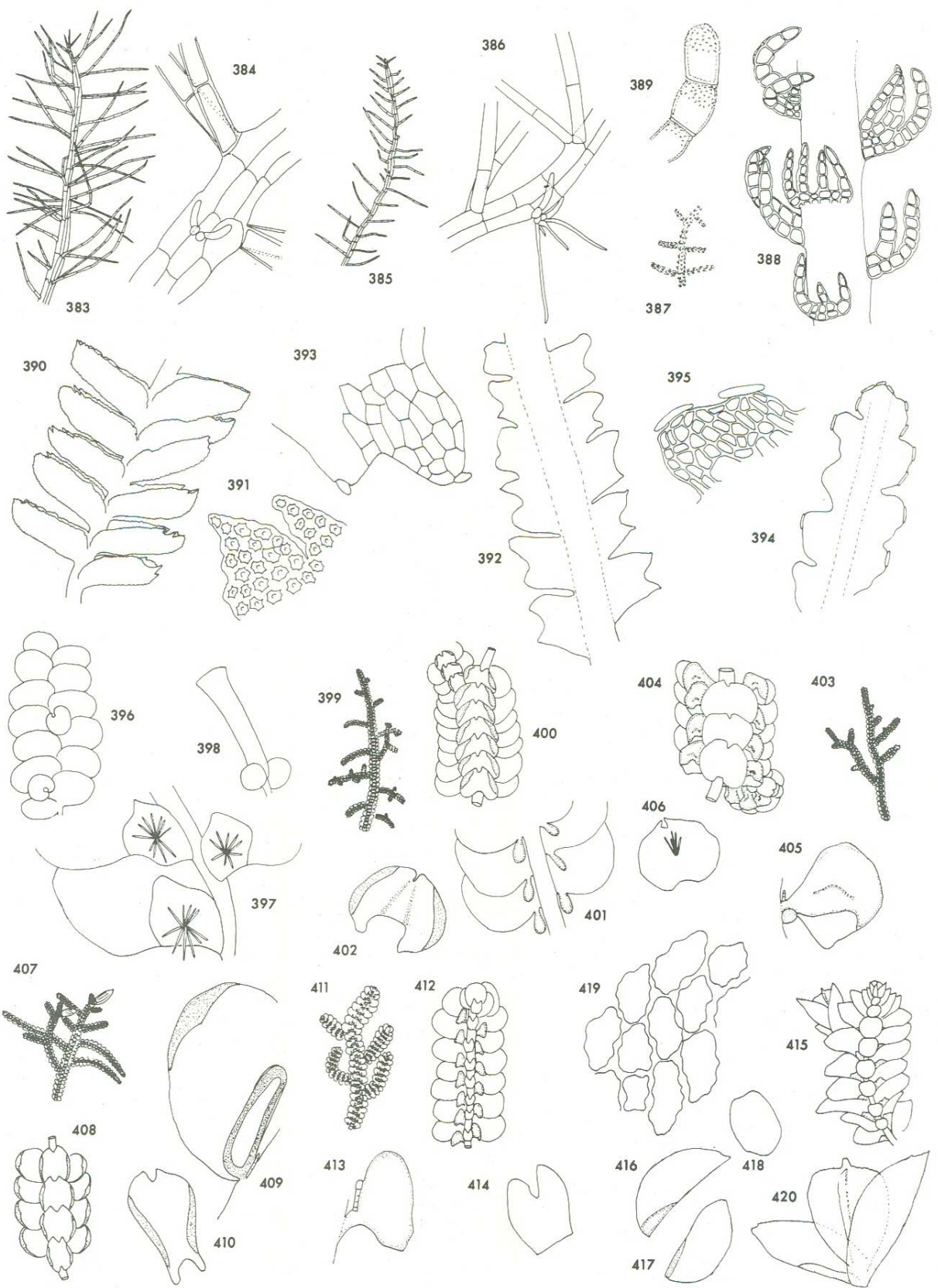
## ESTAMPA VII

- Fig. 347-348 — **Calypogeia amazonica.** Fig. 347, planta X 10; fig. 348, ápice do filídio X 80.  
Fig. 349-350 — **Calypogeia tenax.** Fig. 349, planta X 10; fig. 350, ápice do filídio X 80.  
Fig. 351-352 — **Calypogeia parallelogramma.** Fig. 351, planta X 15; fig. 352, ápice do filídio X 80.  
Fig. 353-354 — **Calypogeia rhombifolia.** Fig. 353, planta X 13; fig. 354, ápice do filídio X 80.  
Fig. 355-356 — **Calypogeia lechleri.** Fig. 355, planta X 20; fig. 356, ápice do filídio X 80.  
Fig. 357-358 — **Lophocolea liebmanniana.** Fig. 357, planta X 40; fig. 358, ápice do filídio X 100.  
Fig. 359-361 — **Lophocolea perissodonta.** Fig. 359, planta X 7; fig. 360, anfigástrio X 20; fig. 361, perianto X 4.  
Fig. 362-363 — **Lophocolea martiana.** Fig. 362, planta X 2; fig. 363, anfigástrio X 40.  
Fig. 364-367 — **Plagiochila rutilans.** Fig. 364, planta em estado seco X 7; fig. 365, planta em estado úmido X 6; fig. 366, filídio X 10; fig. 367, células do filídio X 200.  
Fig. 368-370 — **Plagiochila subplana.** Fig. 368, planta X 5; fig. 369, filídio X 7; fig. 370, células do filídio X 200.  
Fig. 371-372 — **Plagiochila hylaecocetis.** Fig. 371, planta X 10; fig. 372, filídio X 10.  
Fig. 373-375 — **Plagiochila thysanotis.** Fig. 373, planta X 10; fig. 374-375, filídio X 13.  
Fig. 376-378 — **Odontoschisma brasiliense.** Fig. 376, planta X 10; fig. 377, filídio X 20; fig. 378, células do filídio X 190.  
Fig. 379 — **Odontoschisma falcifolium.** Fig. 379, filídio X 20.  
Fig. 380-382 — **Anomoclada muscosa.** Fig. 380, planta X 13; fig. 381, filídio X 20; fig. 382, células do filídio X 200.



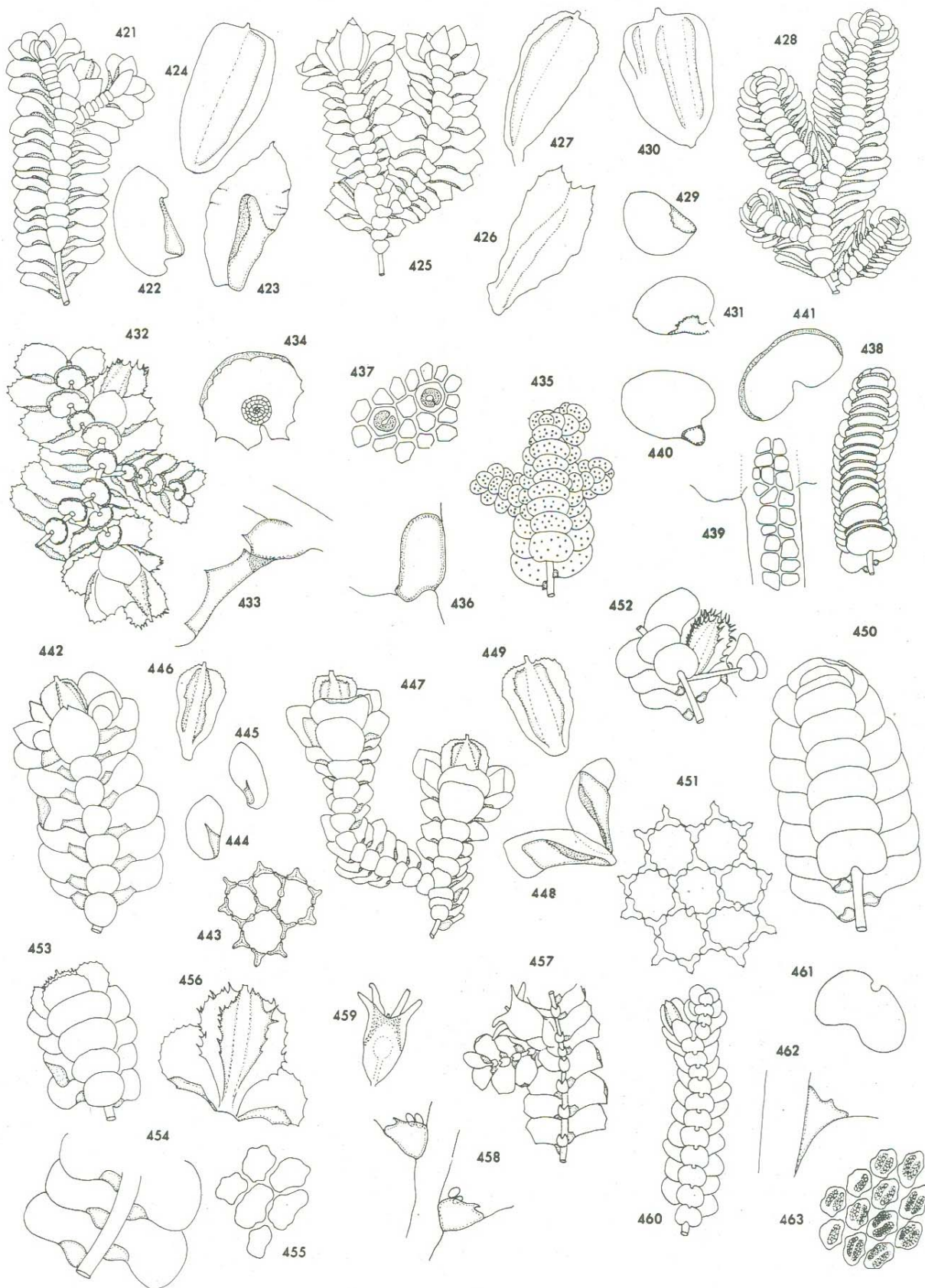
#### ESTAMPA VIII

- Fig. 383-384 — *Arachniopsis coatalis*. Fig. 383, planta X 20; fig. 384, aumento duma porção da planta X 300.
- Fig. 385 — *Arachniopsis pecten*. Fig. 385, planta X 15.
- Fig. 386 — *Telaranea sejuncta*. Fig. 386, aumento duma porção da planta X 110.
- Fig. 387-389 — *Microlepidozia verrucosa*. Fig. 387, planta X 5; fig. 388, aumento duma porção da planta X 130; fig. 389, ápice dum segmento dum filídio X 400.
- Fig. 390-391 — *Mytilopsis albifrons*. Fig. 390, planta X 35; fig. 391, ápice do filídio X 220.
- Fig. 392-393 — *Regredicaulis serrus*. Fig. 392, planta X 23; fig. 393, ápice do lobo X 70.
- Fig. 394-395 — *Zoopsis integrifolia*. Fig. 394, planta X 40; fig. 395, ápice do lobo X 90.
- Fig. 396-398 — *Radula flaccida*. Fig. 396, planta (lado dorsal) X 10; fig. 397, vista ventral da planta X 30; fig. 398, perianto X 20.
- Fig. 399-402 — *Frullania nodulosa*. Fig. 399, planta X 2; fig. 400, vista ventral da planta X 10; fig. 401, vista ventral da planta sem anfigástrios X 20; fig. 402, anfigástrio X 15.
- Fig. 403-406 — *Frullania gibbosa*. Fig. 403, planta X 2; fig. 404, vista ventral da planta X 13; fig. 405, lóbulo X 45; fig. 406, anfigástrio X 20.
- Fig. 407-410 — *Frullania montagnei*. Fig. 407, planta X 2; fig. 408, vista ventral da planta X 13; fig. 409, lóbulo X 80; fig. 410, anfigástrio X 20.
- Fig. 411-414 — *Frullania neesii*. Fig. 411, planta X 5; fig. 412, vista ventral da planta X 20; fig. 413, lóbulo X 100; fig. 414, anfigástrio X 75.
- Fig. 415-420 — *Caudalejeunea lehmanniana*. Fig. 415, planta X 8; fig. 416-417, filídios X 20; fig. 418, anfigástrio X 20; fig. 419, células do filídio X 300; fig. 420, perianto X 20.



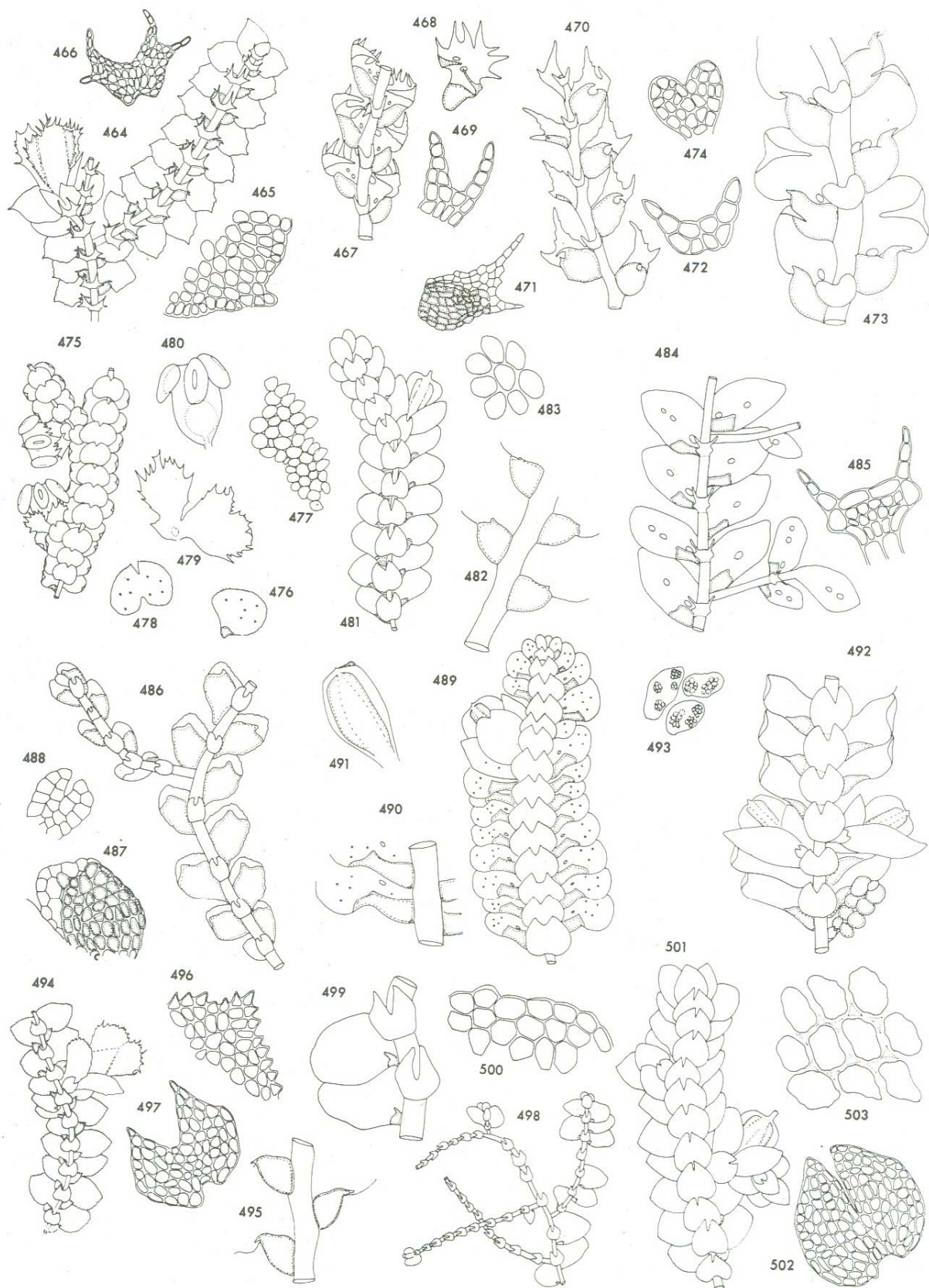
## ESTAMPA IX

- Fig. 421-424 — *Mastigolejeunea auriculata*. Fig. 421, planta X 8; fig. 422, filídio X 17; fig. 423, bráctea feminina X 20; fig. 424, perianto X 20.
- Fig. 425-427 — *Thysananthus amazonicus*. Fig. 425, planta X 8; fig. 426, bractéola feminina X 20; fig. 427, perianto X 20.
- Fig. 428-430 — *Acrolejeunea emergens*. Fig. 428, planta X 8; fig. 429, filídio X 20; fig. 430, perianto X 20.
- Fig. 431 — *Acrolejeunea torulosa*. Fig. 431, folha X 20.
- Fig. 432-434 — *Odontolejeunea lunulata*. Fig. 432, planta X 12; fig. 433, lóbulo do filídio X 45; fig. 434, anfigástrio X 45.
- Fig. 435-437 — *Stictolejeunea squamata*. Fig. 435, planta X 8; fig. 436, lóbulo do filídio X 30; fig. 437, células do filídio mostrando dois ocelos X 300.
- Fig. 438-441 — *Hygrolejeunea reflexistipula*. Fig. 438, planta X 8; fig. 439, vista ventral do caule X 70; fig. 440, filídio X 20; fig. 441, anfigástrio X 20.
- Fig. 442-446 — *Archilejeunea recurvans*. Fig. 442, planta X 8; fig. 443, células do filídio X 260; fig. 444-445, brácteas femininas X 8; fig. 446, perianto X 10.
- Fig. 447-449 — *Verdoornianthus griffinii*. Fig. 447, planta X 8; fig. 448, brácteas femininas X 15; fig. 449, perianto X 15.
- Fig. 450-452 — *Symbiezidium* sp. Fig. 450, planta X 8; fig. 451, células medianas do filídio X 250; fig. 452, perianto X 8.
- Fig. 453-456 — *Lopholejeunea subfusca*. Fig. 453, planta X 17; fig. 454, uma porção da planta sem anfigástrios X 17; fig. 455, células medianas do filídio X 245; fig. 456, perianto X 30.
- Fig. 457-459 — *Ceratolejeunea cornuta*. Fig. 457, planta X 13; fig. 458, uma porção da planta sem anfigástrios X 70; fig. 459, perianto X 20.
- Fig. 460-463 — *Cheilolejeunea trifaria*. Fig. 460, planta X 8; fig. 461, anfigástrio X 20; fig. 462, lóbulo X 70; fig. 463, células medianas do filídio X 200.



## ESTAMPA X

- Fig. 464-466 — *Crossotolejeunea boryana*. Fig. 464, planta X 20; fig. 465, ápice do filídio X 150; fig. 466, anfigástrio X 80.
- Fig. 467-469 — *Drepanolejeunea palmifolia*. Fig. 467, planta X 35; fig. 468, filídio X 40; fig. 469, anfigástrio X 120.
- Fig. 470-472 — *Drepanolejeunea cf. bidens*. Fig. 470, planta X 86; fig. 471, filídio X 100; fig. 472, anfigástrio X 100.
- Fig. 473-474 — *Harpalejeunea tenuicuspis*. Fig. 473, planta X 70; fig. 474, anfigástrio X 160.
- Fig. 475-480 — *Kingolejeunea ornata*. Fig. 475, planta X 10; fig. 476, filídio X 18; fig. 477, ápice do filídio X 120; fig. 478, anfigástrio X 18; fig. 479, bráctea e bractéola femininas X 18; fig. 480, perianto X 18.
- Fig. 481-483 — *Lejeunea cf. flava*. Fig. 481, planta X 20; fig. 482, vista ventral da planta sem anfigástrios X 55; fig. 483, células medianas do filídio X 220.
- Fig. 484-485 — *Leptolejeunea elliptica*. Fig. 484, planta X 40; fig. 485, anfigástrio X 180.
- Fig. 486-488 — *Microlejeunea cf. ulicina*. Fig. 486, planta X 80; fig. 487, filídio X 140; fig. 488, anfigástrio X 140.
- Fig. 489-491 — *Pycnolejeunea callosa*. Fig. 489, planta X 18; fig. 490, vista ventral da planta sem anfigástrios X 30; fig. 491, perianto X 20.
- Fig. 492-493 — *Potamolejeunea polystachya*. Fig. 492, planta X 18; fig. 493, células medianas do filídio mostrando os cléo-corpos X 300.
- Fig. 494-497 — *Prionolejeunea* sp. Fig. 494, planta X 18; fig. 495, vista ventral da planta sem anfigástrios X 80; fig. 496, ápice do filídio X 180; fig. 497, anfigástrio X 130.
- Fig. 498-500 — *Rectolejeunea cf. maxonii*. Fig. 498, planta X 20; fig. 499, vista ventral do filídio X 70; fig. 500, ápice do filídio X 270.
- Fig. 501-503 — *Taxilejeunea* sp. Fig. 501, planta X 20; fig. 502, anfigástrio X 120; fig. 503, células medianas do filídio X 300.



## ESTAMPA XI

- Fig. 504-506 — **Colura cf. sagittistipula.** Fig. 504, planta X 13; fig. 505, filídio X 40; fig. 506, anfigástrio X 63.
- Fig. 507-511 — **Diplasiolejeunea rudolphiana.** Fig. 507, planta X 15; fig. 508, filídio X 23; fig. 509, anfigástrio X 40; fig. 510, perianto X 15; fig. 511, seção transversal do perianto X 15.
- Fig. 512-513 — **Aphanolejeunea sicaefolia.** Fig. 512, planta V 80; fig. 513, filídio X 200.
- Fig. 514-515 — **Coleolejeunea sp.** Fig. 514, planta X 40; fig. 515, vista ventral da planta X 80.
- Fig. 516-518 — **Leptocolea cf. planifolia.** Fig. 516, planta X 18; fig. 517, margem do filídio X 200; fig. 518, perianto X 30.
- Fig. 519-521 — **Pallavicinia lyellii.** Fig. 519, planta masculina X 1,5; fig. 520, planta feminina X 1,5; fig. 521, invólucro X 10.
- Fig. 522-524 — **Symphyogyna brogniartii.** Fig. 522, planta feminina X 2; fig. 523, margem do lobo X 160; fig. 524, invólucro X 8.
- Fig. 525-526 — **Aneura sp.** Fig. 525, planta X 10; fig. 526 células superficiais do lado dorsal da planta X 90.
- Fig. 527-528 — **Riccardia sp.** Fig. 527, planta X 5; fig. 528, planta com esporófito X 5.
- Fig. 529-531 — **Ricciocarpos natans.** Fig. 529, planta X 2; fig. 530, escama ventral X 4; fig. 531, margem serreada da escama ventral X 160.
- Fig. 532-533 — **Anthoceros sp.** Fig. 532, planta com esporófitos X 2; fig. 533, células superficiais do lado dorsal da planta mostrando os cloroplastos maciços X 160.
- Fig. 534-536 — **Pictolejeunea sprucei.** Fig. 534, planta X 18; fig. 535, margem do filídio X 170; fig. 536, perianto X 18.

